

*BBP.*

## ORMAN SINIRLARININ ÖLÇÜLMESİNDEN UYGULANABILECEK BİR METOD

Yazar : Tahsin TOKMANOĞLU

### GİRİŞ

Orman sınırlarının ölçülmesi yerden ve havadan olmak üzere 2 şekilde yapılmaktadır. Yerden yapılan ölçmelere Klâsik metodlar, havadan yapılanlara ise Fotogrametrik metodlar denilmektedir. Bu yazıya konu olan metod, klâsik metodlardan biridir.

Bir orman blokunu çevreleyen poligonu ölçmek için, mesafeleri ve açıları ölçmeye ihtiyaç vardır. 250 m. den daha küçük olan mesafeler mira yardım ile ölçülür. Teorik olarak mira yardımıyla 400 m. ye kadar mesafe ölçmek gerekirse de, tatbikatta 250 m. den daha uzak mesafeler ölçülememektedir. Mira yardımıyla yapılan 100 m. lik bir mesafe ölçümede, ortalama 1 m. hata yapılmaktadır. Miranın düşeyliğine ve rasattaki paralaks hatasının giderilmesine dikkat edilmediği takdirde, mira ile yapılan mesafe ölçmeleri büyük hatalarla yükülu olur. Bu sebeplerle, mira ile mesafe ölçme, arzu edilen bir çalışma şekli değildir. Kenarları 250 m. den daha uzun olan bir poligonun ölçülmesiyle karşılaşıldığı takdirde, mirayı kulanmaya maddeten imkân bulunamayacaktır. Kenarları küçük parçalara bölmek suretiyle ölçmek de pratik olmamaktadır.

Sınır çizgisi küçük doğru parçaları halinde alındığı takdirde, çok sayıda sınır noktası elde edilmektedir. Bu noktaların korunması çok zor hasta bazen imkânsız bulunmaktadır. Meselâ çalışmalarına katıldığımız klâsik metod uygulayan bir orman tahdit komisyonunda ölçülen 1600 adet mesafenin ortalamasının 59 m. çıktılığını tespit etmiş bulunuyoruz. Bu metoda göre tahdit çalışması bittiği zaman, bir orman bölge şefliğinin sınırlarına 5000 - 10 000 işaret dikilmiş olmaktadır. Bölge şefliğinin bu işaretleri korumasına maddeten imkân bulunmamaktadır. Bunun bir sonucu olarak, bölge şefliklerimiz ve işletme müdürlüklerimiz tahdit çalışmalarına pek ilgi göstermemektedirler. Orman sınırları büyük doğru parçaları halinde alındığı takdirde, sınır işaretlerinin adetleri azalacak ve korunmaları da imkân dahiline girecektir. İşaretleri azaltmak için kenarları uzatmak gerekmektedir. 250 m. den daha uzun mesafeleri ölçebilme'

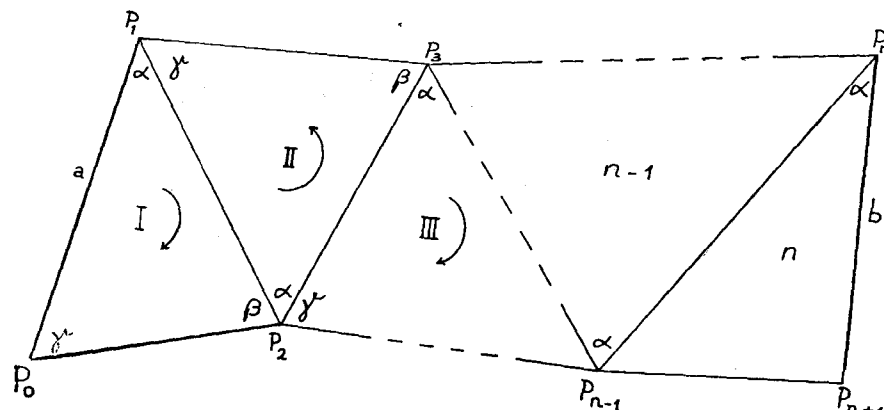
icin modern aletler icat edilmiştir. Radar ışınlar ile çalışan bu aletler çok pahalıdır, bugün için orman sınırlarının ölçülmesinde bahis konusu olma- maktadır.

### Arazide Yalnız Açı Ölçmek, Kenar Uzunluklarını Daha Sonra Hesapla Bulmak Mümkün Değil midir?

Bu soruya olumlu cevap verilebilmektedir. Nirengi şebekelerinde ölçü gibi, yalnız bir kenarın uzunluğunu ölçmek, bunun haricinde sadece açı ölçmeleri yapmak, daha sonra da kenar uzunluklarını hesapla bulmak mümkünündür. Bu hesabın nasıl yapılabileceği aşağıda bir misalle açıklanır. Yapılacak olan açıklama (2 kenara bağlı nirengi zinciri) nin özel bir seklidir. Konuya girebilmemiz için evvelâ 2 kenara bağlı nirengi zinciri genel durumunu, kısaca gözden geçirmemiz gerekmektedir.

#### İki Kenara Bağlı Nirengi Zinciri

1 No. lu şekilde a ve b kenarlarına bağlı bir nirengi zinciri görülmektedir. a ve b kenarlarının uzunlukları ile semt açıları ya arazide ölçülüür ve yahut bu kenarlar başka sistemlere aittirler, bu sebeplerle de uzunlukları ve semt açıları hesapla bulunmuştur. a ve b kenarlarının uzunlukları



Şekil 1

#### İki Kenara Bağlı Nirengi Zinciri.

a ve b kenarlarının uzunluklarıyla semt açıları arazide ölçülüür. Bütün zincir bu 2 kenara bağlanır. Bazen de  $P_0, P_1, P_n$  ve  $P_{n+1}$  noktaları başka nirengi şebekelerine ait olur ve o şebekelerde koordinatları hesaplanmış olur. Bu durumda a ve b kenarlarının uzunluklarıyla semt açıları, koordinatlara dayanılarak hesaplanır.

ve semt açıları bilindiğine göre, diğer bir söyleyle şekillerdeki  $P_0, P_1, P_n, P_{n+1}$  noktalarının koordinatları bilindiğine göre zincir içersinde bulunan  $P_2, P_3 \dots P_{n-1}$  noktalarının koordinatlarının bulunmasına çalışılır. Arazide şekilde görülen üçgenlerin iç açıları ölçülüür, mesafeler daha sonra büroda hesaplanarak bulunur. Bu hesaplar yapılrken aşağıdaki 3 şart gerçekleştirilir.

- 1 — Her üçgenin iç açılarının toplamı 200 grad olmalıdır (açı şartı)
- 2 — a kenarının semt açısına dayanılarak zincirdeki bütün kenarların semt açıları hesaplandığı takdirde, b kenarı için bulunacak semt açısı, b kenarının eski semt açısına eşit olmalıdır (semt şartı).
- 3 — a kenarının uzunluğuna dayanılarak zincirdeki bütün kenarların uzunlukları hesaplandığı takdirde b kenarı için bulunacak değer, b kenarının eski uzunluğuna eşit olmalıdır (Kenar şartı).

Bu 3 şartın ilk ikisi (açı ve semt şartları) birlikte gerçekleştirilir. Şekildeki  $\beta$  ve  $\gamma$  açıları yalnız açı şartını gerçekleştirmek için bir miktar değiştirilir. Bu değişim miktarları aşağıdaki formüllerde (1), (2), (3), ... (n) şeklinde gösterilmiştir. Şekildeki  $\beta$  açıları ise hem açı şartının gerçekleştirilmesi, hem de semt şartının gerçekleştirilmesi için değiştirilir.  $\beta$  açıları hem (1), (2), ..., (n) düzeltme miktarlarını hemde  $\mp S$  düzeltme payını alır.  $\mp S$  düzeltme payı semt şartının gerçekleşmesini sağlar.

S değeri

$$S = \frac{[f_t] - [f_s] - 3fs}{2n} \quad (1)$$

formülü ile hesaplanır, formül içindeki terimler şunlardır;

$[f_t]$  = Tek numaralı üçgenlerdeki açı kapanış hatalarının toplamı, açı kapanış hataları  $f = \alpha + \beta + \gamma - 200$  şeklinde hesaplanır. Bazi müesseselerde açı kapanış hatası  $f = 200 - (\alpha + \beta + \gamma)$  şeklinde hesaplanmaktadır. Bu durumda 1 No. lu formülün payındaki işaretler değişir.

$[f_s]$  = Çift numaralı üçgenlerdeki açı kapanış hatalarının toplamı,

$f_s$  = Semt şartının gerçekleşip gerçekleşmeyeceği

$$\omega + [\alpha_t] - [\alpha_s] - 200 K = 0 \quad (2)$$

formülü ile kontrol edilir. Bu formül gerçekleşirse, semt şartı da gerçekleşir. 2 No. lu formülün verdiği sonuç  $f_s$  ile gösterilmiştir.

2 No. lu formül içindeki terimler şunlardır;

$\omega$  = İlk ve son kenarın (a ve b kenarlarının) semt açıları arasındaki fark,

$[\alpha_t]$  = Tek numaralı  $\alpha$  açılarının toplamı

$[\alpha_c]$  = Çift numaralı  $\alpha$  açılarının toplamı

K = Bir katsayı, zincirdeki üçgen sayısı n çift olduğu takdirde K = 0 alınır. n tek olduğu takdirde K = + 1 alınır.

Açı ve semt şartını gerçekleştirmek için evvelâ 2 No. lu formül hesaplanır. Bulunan sonuç  $f_s$  dir. Bu sonuç 1 No. lu formüllerde yerine konularak S hesaplanır. S değeri aşağıdaki formüllerde yerlerine konularak  $\beta$  ve  $\gamma$  açılarının alacakları düzeltme miktarları hesaplanır.

$$\left. \begin{array}{l} (1) = -\frac{1}{3}(f_1 + S) \\ (2) = -\frac{1}{3}(f_2 - S) \\ (3) = -\frac{1}{3}(f_3 + S) \\ \vdots \\ (n) = -\frac{1}{3}(f_n \mp S) \end{array} \right\} \quad (3)$$

Ölçülen  $\beta$  ve  $\gamma$  açıları 3 No. lu formüller yardımcıla hesaplanan miktarlar kadar değiştirilir.  $\alpha$  açıları ise 3 No. lu formüllerin verdiği değerler kadar değiştirildikten sonra, birde 1 No. lu formülin verdiği  $\mp S$  değeri kadar değiştirilir. Tek No. lu  $\alpha$  açılarında S in işaretti (+), çift no. lu  $\alpha$  açılarında ise (-) alınır.

Açı ve semt şartı gerçekleştirildikten sonra kenar şartının gerçekleştirmesine geçilir.

Kenar şartı

$$\frac{a \sin \gamma_1 \sin \gamma_2 \dots \sin \gamma_n}{b \sin \beta_1 \sin \beta_2 \dots \sin \beta_n} = 1 \quad (4)$$

veyahut

$$\log a + [\log \sin \gamma] - (\log b + [\log \sin \beta]) = 0 \quad (5)$$

formülü gerçekleştiği takdirde gerçekleşir.

Tatbikatta meselâ 5 No. lu formül hiçbir zaman sıfıra eşit olmaz, sifirdan farklı bir  $\varphi$  değerine eşit olur.  $\varphi$  değerini yoketmek gayesiyle bir x miktari  $\gamma$  açılarından çıkarılır, aynı x miktari  $\beta$  açılarına ilâve edilir.

x değeri

$$x = \frac{y}{[\Delta \gamma] + [\Delta \beta]} \quad (6)$$

formülü ile hesap edilir.

Formül içindeki değerler

$\varphi$  = 5 No. lu formülün verdiği sonuç,

$\Delta \gamma$  =  $\gamma$  açılarının bir saniyelik değişiminin karşıtı olan logsin değişimi,

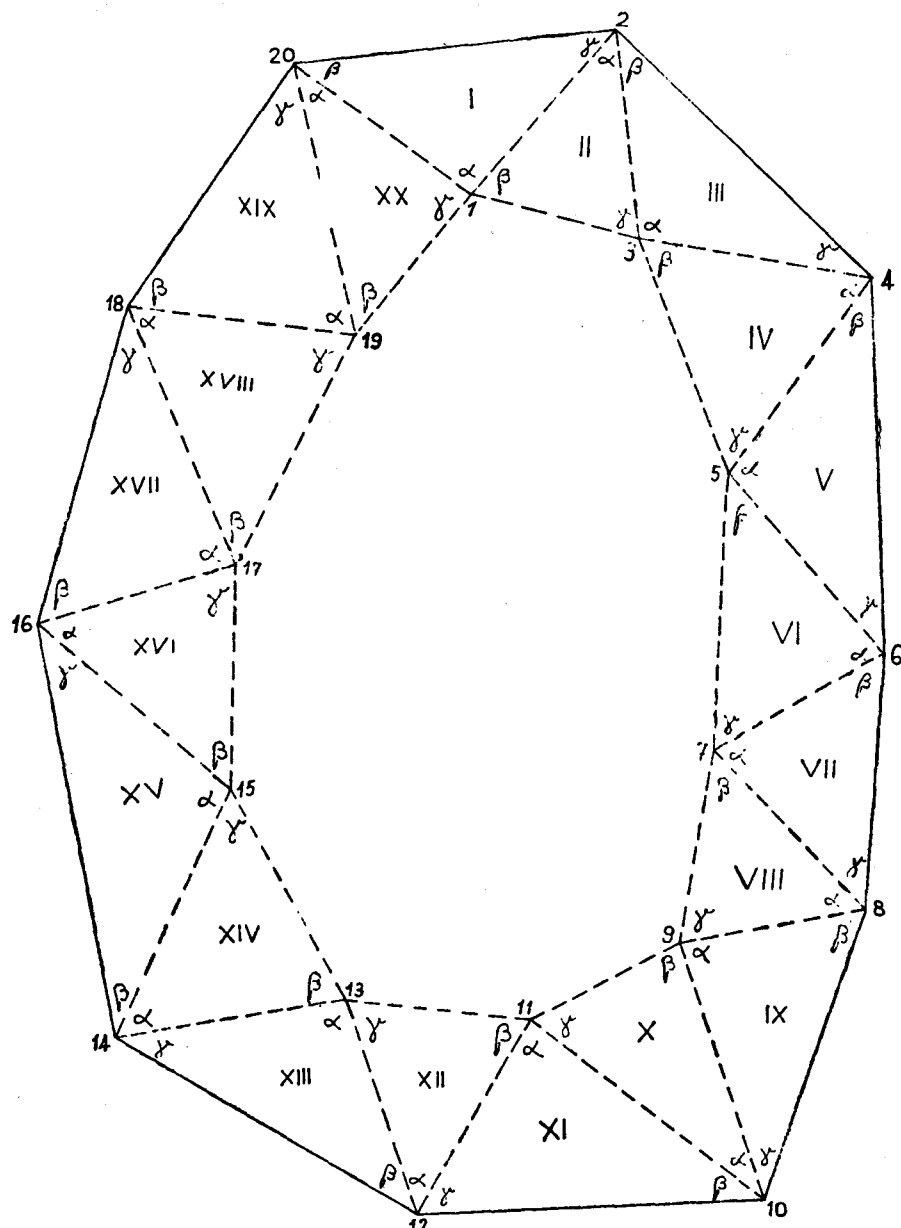
$\Delta \beta$  =  $\beta$  açılarının bir saniyelik değişiminin karşıtı olan logsin değişimi.

$\gamma$  ve  $\beta$  açıları 100 grad'dan küçük oldukları takdirde  $\Delta \gamma$  ve  $\Delta \beta$  lar (+) işaretli alınırlar, 100 grad'dan büyük oldukları takdirde (-) işaretli alınırlar.

#### İlk ve Son Kenarı Aynı Kenar Olan Nirengi Zinciri

1. No. lu şekilde görülen nirengi zincirinde ilk ve son kenarlar (a ve b kenarları) aynı kenar olacak olursa zincir kendi üzerine kapanır ve 2 No. lu şekilde görülen durum ortaya çıkar. Burada 20 tane üçgen bulunmaktadır.

2 No. lu şekilde 2, 4, 6, 8, 10, 12, 14, 16, 18 ve 20 No. lu noktalar, bir orman blokunu çevrelen poligonun köşe noktalarıdır. Bu noktalar arasındaki mesafeler 250 m. den daha uzundur. Poligon kenarlarının ortaları hizalarında ve ormanın iç kısmında yardımcı noktalar alınmıştır. Yardımcı noktalar hem komşu bulundukları asıl poligon noktalarını, hemde birbirlerini görebilmektedirler. Şekildeki 1, 3, 5, 7, 9, 11, 13, 15, 17, 19 No. lu noktalar yardımcı noktalardır. Çift numaralılar asıl poligon noktaları, tek numaralılar ise yardımcı noktalardır. Asıl ve yardımcı noktalar komşularıyla birleştirilerek şekilde görülen 20 adet üçgen elde edilmiştir. Üçgenler bir nirengi zinciri meydana getirmektedir. Buradaki nirengi zinciri kendi üzerine kapanmıştır. Diğer bir söyleyle, buradaki nirengi zincirinin bağlı bulunduğu iki kenar (ilk ve son kenarlar) aynı kenardır.



Şekil 2

Miyitik bir orman blokunu çevreleyen nirengi zinciri. Çift numaralı noktalar orman sınırlarında bulunmaktadır. Tek numaralı noktalar orman sınırının içinde alınmış yardımcı noktalardır.

Cetvel No:1

2 No.lu şekilde görülen nirengi zincirinin ölçülen iç açlarını, kenar ve semt şartlarını gerçekleştirebilmek için ölçülen açıların düzeltileceği miktarları ve dengelenmiş açıları gösterir cetvel.

Ölçülen açı (Grad)	Düzeltme miktari (Saniye)	Dengelenmiş açı (Grad)	Ölçülen açı (Grad)	Düzeltme miktari (Saniye)	Dengelenmiş açı (Grad)
$\alpha_1$ 105,7265	— 27	105,7238	$\alpha_2$ 125,8712	+ 16	125,8728
$\beta_1$ 33,4726	— 63	33,4663	$\beta_2$ 31,4376	+ 51	31,4427
$\gamma_1$ 60,8162	— 63	60,8009	$\gamma_2$ 42,6793	+ 52	42,6845
200,0153	— 153	200,0000	199,9881	+ 119	200,0000
	$f_1 = + 153$			$f_2 = - 119$	
$\alpha_3$ 133,8572	— 16	133,8556	$\alpha_4$ 167,6441	+ 19	167,6430
$\beta_3$ 37,6464	— 52	37,6412	$\beta_4$ 13,7284	+ 55	13,7339
$\gamma_3$ 28,5085	— 53	28,5032	$\gamma_4$ 18,6176	+ 55	18,6231
200,0121	— 121	200,0000	199,9871	+ 129	200,0000
	$f_3 = + 121$			$f_4 = - 129$	
$\alpha_5$ 164,1884	— 46	164,1838	$\alpha_6$ 171,4718	— 78	171,4640
$\beta_5$ 21,8278	— 82	21,8196	$\beta_6$ 17,3278	— 42	17,3234
$\gamma_5$ 14,0047	— 81	13,9966	$\gamma_6$ 11,2169	— 43	11,2126
200,0209	— 209	200,0000	200,0163	— 163	200,0000
	$f_5 = + 209$			$f_6 = + 163$	
$\alpha_7$ 155,6874	— 40	155,6834	$\alpha_8$ 147,7626	+ 40	147,7666
$\beta_7$ 21,7081	— 76	21,7005	$\beta_8$ 27,1587	+ 76	27,1663
$\gamma_7$ 22,6238	— 77	22,6161	$\gamma_8$ 25,0594	+ 77	25,0671
200,0193	— 193	200,0000	199,9807	+ 193	200,0000
	$f_7 = + 193$			$f_8 = - 193$	
$\alpha_9$ 129,3793	+ 74	126,3867	$\alpha_{10}$ 83,5524	+ 21	83,5545
$\beta_9$ 35,1973	+ 38	35,2011	$\beta_{10}$ 64,3776	+ 57	64,3833
$\gamma_9$ 38,4085	+ 37	38,4122	$\gamma_{10}$ 52,0564	+ 58	52,0622
199,9851	+ 149	200,0000	199,9864	+ 136	200,0000
	$f_9 = - 149$			$f_{10} = - 136$	

Cetvel No: 1  
Devam

Ölçülen açı (Grad)	Düzelme miktarı (Saniye)	Dengelenmiş açı (Grad)	Ölçülen açı (Grad)	Düzelme miktarı (Saniye)	Dengelenmiş açı (Grad)
$\alpha_{11}$ 141,3683	— 15	141,3668	$\alpha_{12}$ 147,2516	— 70	147,2446
$\beta_{11}$ 30,7248	— 51	30,7197	$\beta_{12}$ 21,3347	— 34	21,3313
$\gamma_{11}$ 27,9187	— 52	27,9135	$\gamma_{12}$ 31°42'75	— 34	31,4241
200,0118	— 118	200,0000	200,0138	— 138	200,0000
$f_{11} = + 118$		$f_{12} = + 138$			
$\alpha_{13}$ 165,3676	+ 55	165,3731	$\alpha_{14}$ 140,4022	+ 15	140,4037
$\beta_{13}$ 16,4108	+ 19	16,4127	$\beta_{14}$ 22,5376	+ 51	22,5427
$\gamma_{13}$ 18,2124	+ 18	18,2142	$\gamma_{14}$ 37,0486	+ 50	37,0536
199,9908	+ 92	200,0000	190,9884	+ 116	200,0000
$f_{13} = — 92$		$f_{14} = — 116$			
$\alpha_{15}$ 150,3484	+ 57	150,3541	$\alpha_{16}$ 132,6614	— 95	132,6519
$\beta_{15}$ 25,4875	+ 21	25,4896	$\beta_{16}$ 33,7253	— 59	33,7194
$\gamma_{15}$ 24,1543	+ 20	24,1563	$\gamma_{16}$ 33,6346	— 59	33,6287
199,9902	+ 98	200,0000	200,0213	— 213	200,0000
$f_{15} = — 98$		$f_{16} = + 213$			
$\alpha_{17}$ 125,1878	+ 76	125,1954	$\alpha_{18}$ 108,7624	— 82	180,7542
$\beta_{17}$ 36,2685	+ 40	36,2725	$\beta_{18}$ 48,3266	— 46	48,3220
$\gamma_{17}$ 38,5282	+ 30	38,5321	$\gamma_{18}$ 42,9284	— 46	42,9238
199,9845	+ 155	200,0000	200,0174	— 174	200,0000
$f_{17} = — 155$		$f_{18} = + 174$			
$\alpha_{19}$ 109,4385	— 12	109,4373	$\alpha_{20}$ 152,2118	— 66	152,2052
$\beta_{19}$ 54,8453	— 48	54,8405	$\beta_{20}$ 26,6545	— 30	26,6515
$\gamma_{19}$ 35,7270	— 48	35,7222	$\gamma_{20}$ 21,1463	— 30	21,1433
200,0108	— 108	200,0000	200,0126	— 126	200,0000
$f_{19} = + 108$		$f_{20} = + 126$			

Zincirin ölçülmeye elverişli olan bir kenarı, itinalı bir şekilde ölçülür. İcap ediyorsa kenar üzerinde baz alınır, ölçülür ve büyültüerek kenar uzunluğu elde edilir. Şekildeki 1 ve 20 No. lu noktaları birlestiren uzunluk ölçülmüş ve 425,45 m. bulunmuştur. Bundan sonra şekildeki 20 üçgenin iç açıları saniyelerine kadar ölçülmüştür. Elde edilen sonuçlar 1 No. lu cetvelde görülmektedir. Her üçgene ait açı kapanış hatası 1 No. lu cetvelde hesaplanmış ve ayrı ayrı gösterilmiştir.

Açı ve semt şartını gerçekleştirebilmek için evvelâ yukarıda açıklanmış olan 1 No.lu formülü çözmem gerekmektedir. Formül içindeki terimleri hesaplayalım ve yerlerine koymalı. 2 No. lu cetvelde  $[f_t]$  ve  $[f_s]$  terimlerinin hesabı görülmektedir. Hesap sonunda  $[f_t] = + 408$  grad saniyesi,  $[f_s] = + 121$  grad saniyesi bulunmuştur.

Cetvel No: 2

1 No. lu formüldeki $[f_t]$ ve $[f_s]$ terimlerinin hesabı			
$[f_t]$ Teriminin hesabı		$[f_s]$ Teriminin hesabı	
+	-	+	-
$f_1$	153	$f_2$	119
$f_3$	121	$f_4$	129
$f_5$	209	$f_6$	163
$f_7$	193	$f_8$	193
$f_9$		$f_{10}$	136
$f_{11}$	118	$f_{12}$	138
$f_{13}$		$f_{14}$	116
$f_{15}$		$f_{16}$	213
$f_{17}$		$f_{18}$	174
$f_{19}$	108	$f_{20}$	126
$+902$		$+814$	693
$-494$		$-693$	
$[f_t] = + 408$		$[f_s] = + 121$	

 $f_s$  teriminin hesabı :

$f_s$  terimi 2 No. lu formül yardımıyle çözülecektir. Bunun için evvelâ 2 No. lu formül içindeki terimleri hesaplamamız gerekmektedir. 3 No. lu cetvelde  $[\alpha_t]$  ve  $[\alpha_s]$  terimlerinin hesaplanması görülmektedir. Hesap sonunda  $[\alpha_t] = 1377,5494$  grad ve  $[\alpha_s] = 1377,5885$  grad bulunmuştur.

Cetvel No: 3

2 No.lu formüldeki $[\alpha_t]$ ve $[\alpha_c]$ terimlerinin hesabı	
$[\alpha_t]$ teriminin hesabı	$[\alpha_c]$ teriminin hesabı
1 — 105,7265	2 — 125,8712
3 — 133,8572	4 — 167,6411
5 — 164,1884	6 = 171,4718
7 — 155,6874	8 — 157,7626
9 — 126,3793	10 — 83,5524
11 — 141,3683	12 — 147,2516
13 — 165,3676	14 — 140,4022
15 — 150,3484	16 — 132,6614
17 — 125,1878	18 — 108,7624
19 — 109,4385	20 — 152,2118
$[\alpha_t] = 1377,5494$	$[\alpha_c] = 1377,5885$

İlk ve son kenar aynı olduğu için  $\omega = 0$  dir. Misâlimizdeki üçgen adedî çifttir ( $n = 20$ ) bu sebeple 2 No. lu formüldeki K katsayısı sıfır alınır.

Bulunan değerler 2 No. lu formüldeki yerlerine konulunca;

$$f_s = [\alpha_t] - [\alpha_c] - \omega + 200K \quad (2)$$

$$f_s = 1377,5494 - 1377,5885 - 0 + 200 \times 0$$

$$f_s = -391 \text{ grad saniyesi}$$

bulunur.

S değerinin hesabı :

1 No. lu formülün bütün değerleri buraya kadar elde edilmiştir, bu değerler yerlerine konularak 1 No. lu formül hesaplanırsa;

$$S = \frac{1}{2n} [f_t] - [f_c] - 3f_s \quad (1)$$

$$S = \frac{1}{2 \times 20} (408 - 121 + 3 \times 391)$$

$$S = \frac{1}{40} (408 - 121 + 1173)$$

Cetvel No: 4

3 No.lu formüllerin çözümü ve (1), (2), ... (20) düzeltme miktarlarının hesaplanması		
(1) = —	$\frac{1}{3} (f_1 + S) = -$	$\frac{1}{3} (+ 153 + 36) = -63$
(2) = —	$\frac{1}{3} (f_2 - S) = -$	$\frac{1}{3} (- 119 - 36) = +52$
(3) = —	$\frac{1}{3} (f_3 + S) = -$	$\frac{1}{3} (+ 121 + 36) = -52$
(4) = —	$\frac{1}{3} (f_4 - S) = -$	$\frac{1}{3} (- 129 - 36) = +55$
(5) = —	$\frac{1}{3} (f_5 + S) = -$	$\frac{1}{3} (+ 209 + 36) = -82$
(6) = —	$\frac{1}{3} (f_6 - S) = -$	$\frac{1}{3} (+ 163 - 36) = -42$
(7) = —	$\frac{1}{3} (f_7 + S) = -$	$\frac{1}{3} (+ 193 + 36) = -76$
(8) = —	$\frac{1}{3} (f_8 - S) = -$	$\frac{1}{3} (- 193 - 36) = +76$
(9) = —	$\frac{1}{3} (f_9 + S) = -$	$\frac{1}{3} (- 149 + 36) = +38$
(10) = —	$\frac{1}{3} (f_{10} - S) = -$	$\frac{1}{3} (- 136 - 36) = +57$
(11) = —	$\frac{1}{3} (f_{11} + S) = -$	$\frac{1}{3} (+ 118 + 36) = -51$
(12) = —	$\frac{1}{3} (f_{12} - S) = -$	$\frac{1}{3} (+ 138 - 36) = -34$
(13) = —	$\frac{1}{3} (f_{13} + S) = -$	$\frac{1}{3} (- 92 + 36) = +19$
(14) = —	$\frac{1}{3} (f_{14} - S) = -$	$\frac{1}{3} (- 116 - 36) = +51$
(15) = —	$\frac{1}{3} (f_{15} + S) = -$	$\frac{1}{3} (- 98 + 36) = +21$
(16) = —	$\frac{1}{3} (f_{16} - S) = -$	$\frac{1}{3} (+ 213 - 36) = -59$
(17) = —	$\frac{1}{3} (f_{17} + S) = -$	$\frac{1}{3} (- 155 + 36) = +40$
(18) = —	$\frac{1}{3} (f_{18} - S) = -$	$\frac{1}{3} (+ 174 - 36) = -46$
(19) = —	$\frac{1}{3} (f_{19} + S) = -$	$\frac{1}{3} (+ 108 + 36) = -48$
(20) = —	$\frac{1}{3} (f_{20} - S) = -$	$\frac{1}{3} (+ 126 - 36) = -30$

$$S = + \frac{1460}{40} = + 36,5 \approx + 36$$

bulunur.

Bulunan S değeri 3 No. lu formüllerde yerlerine konularak 3 No. lu formüller çözülür ve (1), (2), ... (20) düzeltme miktarları elde edilir. 4 No. lu cetvelde bu düzeltme miktarlarının hesaplanması görülmektedir.

$\beta$  ve  $\gamma$  açılarının alacakları düzeltme miktarları 4 No. lu cetvelde elde edilen sonuçlardır.  $\alpha$  açıları 4 No. lu cetvelde bulunan değerleri alacak, ayrıca  $\mp S$  miktarını da alacaklardır. S değerinin işaretini tek numaralı  $\alpha$  açılarında (+), çift numaralı  $\alpha$  açılarında ise (-) olacaktır. 5 No. lu cetvelde  $\alpha$  açılarının alacak oldukları düzeltme miktarlarının hesaplanması görülmektedir.

Cetvel No.: 5

Açı ve semt şartlarının gerçekleştirilemesi için, $\alpha$ açılarının alacakları düzeltme miktarının hesabı	
Tek numaralı $\alpha$ açılarına ait düzeltme miktarları (grad san.)	Cift numaralı $\alpha$ açılarına ait düzeltme miktarları (grad san.)
(1) + S = -63 + 36 = -27	(2) - S = +52 - 36 = +16
(3) + S = -52 + 36 = -16	(4) - S = +55 - 36 = +19
(5) + S = -82 + 36 = -46	(6) - S = -42 - 36 = -78
(7) + S = -76 + 36 = -40	(8) - S = +76 - 36 = +40
(9) + S = +38 + 36 = +74	(10) - S = +57 - 36 = +21
(11) + S = -51 + 36 = -15	(12) - S = -34 - 36 = -70
(13) + S = +19 + 36 = +55	(14) - S = +51 - 36 = +15
(15) + S = +21 + 36 = +57	(16) - S = -59 - 36 = -95
(17) + S = +40 + 36 = +76	(18) - S = -46 - 36 = -82
(19) + S = -48 + 36 = -12	(20) - S = -30 - 36 = -66

5 No. lu cetvelin sonuna kadar yapılan hesaplarla, açı ve semt şartının gerçekleştirilmek için ölçülen açıların düzeltileceği miktarlar elde edilmiş bulunmaktadır. Bulunan değerler 1 No. lu cetvelde açıların karşısına yazılmış ve ölçülen açılar bu miktarlar kadar değiştirilmiştir. Elde edilen sonuçlar 1 No. lu cetvelin (Dengelenmiş açı) sütununa yazılmıştır.

Bir üçgende ölçülen açıların alacak oldukları düzeltme miktarlarının toplamı, işaretinin tersile açı kapanış hatasına eşit olması gereklidir. Bu düşüncenin aşağıdaki formüllerle de açıklanır.

$$\left. \begin{array}{l} 3(1) + S + f_1 = 0 \\ 3(2) - S + f_2 = 0 \\ 3(3) + S + f_3 = 0 \\ \vdots \\ 3(20) - S + f_{20} = 0 \end{array} \right\}$$

olmalıdır.

Meselâ 2 No. lu üçgende hesaplanan düzeltme miktarlarının toplamı  $+ 16 + 52 + 52 = 120$  (grad saniyesi) tutmaktadır.  $f_2 = -119$  olduğuna göre, hesaplanan düzeltme miktarlarının ihtiyaca uyumadığı sonucuna ulaşmaktadır. Bu durum, hesapların kolaylaştırılması gayesiyle yapılan yuvarlamalardan ileri gelmektedir. 1 No. lu formülün çözümünde  $S = + 36,5$  bulunmuş fakat + 36 olarak alınmıştır.

Yukardaki 7 No. lu denklemleri gerçekleştirebilmek için hesaplanan düzeltme miktarları üzerinde küçük değişiklikler yapmak gerekmektedir. Bu sebeple  $\beta_2$  açısının alacağı düzeltme miktarı + 52 olması gereklidir, + 51 alınmıştır. Böylelikle düzeltme miktarlarının toplamının + 119 olması sağlanmıştır. Diğer üçgenlerde de ihtiyaç duyulduktan sonra şekilde 1 — 2 saniyelik değişiklik yapılmıştır.

1 No. lu cetvelde yalnız açı şartları kontrol edilmistir. Düzeltilmiş açılar her üçgende iç açıların toplamının 200 grad olmasını sağlamıştır. Diğer bir söyleyişle açı şartlarının gerçekleştirilmiş olduğu 1 No. lu cetvelde görülmektedir.

1 No. lu cetveldeki dengelenmiş açılarla, semt şartının da gerçekleştirip gerçekleştirilemeyeceğini kontrol etmek gerekmektedir. Bunun için 1 No. lu formülün dengelenmiş açılarla göre çözümlenmesi ve  $f_S$  değerinin sıfır eşit olup olmadığını kontrolü gereklidir. 6 No. lu cetvelde bu kontrolün yapılması görülmektedir.

Hesap sonucunda  $[\alpha_i] = 1377,5600$  ve  $[\alpha_e] = 1377,5605$  grad bulunmuştur. Bu değerlere göre 2 No. lu formül tekrar çözülsünse

$$\left. \begin{array}{l} f_S = [\alpha_i] - [\alpha_e] - \omega + 200 K \\ f_S = 1377,5605 - 1377,5600 - 0 + 200 \times 0 \\ f_S = 5 \end{array} \right\}$$

grad saniyesi bulunur.

Cetvel No: 6

2 No.lu formülün (semt şartının), 1 No.lu cetvelde bulunan dengelenmiş açılarla göre gerçekleşip gerçekleşmediğinin kontrolü

$[\alpha_i]$ teriminin hesabı	$[\alpha_c]$ Teriminin hesabı
1 — 105,7238	2 — 125,8728
3 — 133,8556	4 — 167,6430
5 — 164,1838	6 — 171,4640
7 — 155,6834	8 — 147,7666
9 — 126,3867	10 — 83,5545
11 — 141,3668	12 — 147,2446
13 — 165,3731	14 — 140,4037
15 — 150,3541	16 — 132,6519
17 — 125,1954	18 — 108,7542
19 — 109,4373	20 — 152,2052
1737,5600	1377,5605

$f_s = 0$  olması gerekilen  $+ 5$  saniye olmuştur. Bu değer çok küçük olduğu için, kaale alınmaz. Hesaplanan açıların saniyelerinin yuvarlanması, diğer bir söyleyle saniyelerin askatlarının hesaba katılmaması bu duruma sebep olmuştur. 1 No. lu cetvelde bulunan dengelenmiş  $\alpha$  açılarının 5 tanesini birer saniye değiştirmek, bu 5 saniyeyi yoketmek mümkündür. Fakat değişikliği yapmaya ihtiyaç yoktur.

#### Kenar şartının kontrolü ve gerçekleştirilemesi

4 veya 5 No. lu formüllerden birisinin gerçekleştirilmesi halinde, kenar şartının gerçekleştirilmiş olacağı yukarıda açıklanmıştır. Hesap makinesi ve sinüs cetveli kullanıldığı zaman 4 No. lu formülü uygulamak, Logaritme cetveli kullanıldığı zaman ise 5 No. lu formülü uygulamak gerekir. 7 No. lu cetvelde 5 ve 6 No. lu formül sonuçlarının hesaplanması gerektir. 5 No. lu formül, kenar şartının gerçekleştirilmesi için yok edilmesi gereken  $\phi$  miktarının bulunmasını sağlar.  $\phi$  değeri 6 No. lu formül yardımcıyla yok edilecektir. 7 No. lu cetvelde 6 No. lu formül sonucunun da hesaplandığı görülmektedir. İki formülün birlikte hesaplanması işi kolaylaşmaktadır.

Misâlimizde ilk ve son kenar aynı olduğu için 5 No. lu formülde  $\log a = \log b$  dir ve birbirini görmekte ve geride

$$\phi = [\log \sin \gamma] - [\log \sin \beta]$$

kalmaktadır. 7 No. lu cetvelde bu formül hesaplanmış ve  $\phi = -255$  bulunmaktadır. Aynı cetvelde 6 No. lu formül hesaplanmış ve  $x = -4,2$  saniye bulunmaktadır. Bu duruma göre  $\gamma$  açılarından — 4 saniye çıkarmak ve  $\beta$  açılarına — 4 saniye ilâve etmek gerekir.  $\gamma$  açısı bir saniye değiştiği takdirde, sinüsün logaritmesi  $\Delta\gamma_1 = 0,48$  logaritme değişecektir. Açı  $x = 4,2$  saniye değiştiği takdirde sinüsünün logaritmesi  $x \cdot \Delta\gamma = 4,2 \times 0,48 = 2,016 \sim 2$  logaritme değişir. Bu prensipe göre  $\gamma$  ve  $\beta$  açılarının (logsin) lerinin

Cetvel No.: 7

Kenar şartının kontrolüne ve gerçekleştirilemesine yarayan 5 ve 6 No.lu formül sonuçlarının hesaplanması					
Açı ve semt şartını gerçekleştiren $\gamma$ açılarına ait değerler			Açı ve semt şartını gerçekleştiren $\beta$ açılarına ait değerler		
1 No.lu cetvel-den alınan düzeltilmiş logsin $\gamma$ yaçıları	1 No.lu cetvel-den alınan düzeltilmiş logsin $\beta$ açıları	logsin $\gamma$ $\Delta\gamma$ $x \cdot \Delta\gamma$	logsin $\beta$ $\Delta\beta$ $x \cdot \Delta\beta$		
$\gamma_1 = -60,8099$	$\beta_1 = 33,4663$	1, 911019 0,48 + 2	1, 700537 1,18 — 5		
$\gamma_2 = -42,6845$	$\beta_2 = 31,4427$	1, 793349 0,86 + 4	1, 675837 1,27 — 5		
$\gamma_3 = -28,5032$	$\beta_3 = 37,6412$	1, 636405 1,42 + 6	1, 746177 1,02 — 4		
$\gamma_4 = -18,6231$	$\beta_4 = 13,7339$	1, 459960 2,20 + 9	1, 330540 3,10 — 13		
$\gamma_5 = -13,9966$	$\beta_5 = 21,8196$	1, 338638 3,00 + 13	1, 526430 1,91 — 8		
$\gamma_6 = -11,2126$	$\beta_6 = 17,3234$	1, 243579 3,80 + 15	1, 429380 2,50 — 10		
$\gamma_7 = -22,6161$	$\beta_7 = 21,7005$	1, 541364 1,84 + 8	1, 524147 1,92 — 8		
$\gamma_8 = -25,0671$	$\beta_8 = 27,1663$	1, 583943 1,64 + 7	1, 616889 1,50 — 6		
$\gamma_9 = -38,4122$	$\beta_9 = 35,2011$	1, 753910 0,99 + 4	1, 720316 1,10 — 5		
$\gamma_{10} = -52,0622$	$\beta_{10} = 64,3833$	1, 863107 0,64 + 3	1, 928159 0,43 — 2		
$\gamma_{11} = -27,9135$	$\beta_{11} = 30,7197$	1, 627928 1,46 + 6	1, 666550 1,30 — 6		
$\gamma_{12} = -31,4241$	$\beta_{12} = 21,3313$	1, 675601 1'27 + 5	1, 516980 1,95 — 8		
$\gamma_{13} = -18,2141$	$\beta_{13} = 16,4127$	1, 450594 1,30 + 10	1, 406478 2,60 — 11		
$\gamma_{14} = -37,0536$	$\beta_{14} = 22,5427$	1, 740146 1,04 + 4	1, 540012 1,84 — 8		
$\gamma_{15} = -24,1563$	$\beta_{15} = 25,4896$	1, 568678 1,72 + 7	1, 590817 1,61 — 7		
$\gamma_{16} = -33,6287$	$\beta_{16} = 33,7194$	1, 702442 1,17 + 5	1, 703500 1,17 — 5		
$\gamma_{17} = -38,5321$	$\beta_{17} = 36,2725$	1, 755095 0,98 + 4	1, 731940 1,07 — 4		
$\gamma_{18} = -42,9238$	$\beta_{18} = 48,3220$	1, 795399 0,85 + 4	1, 837731 0,72 — 3		
$\gamma_{19} = -35,7222$	$\beta_{19} = 54,8405$	1, 726024 1,08 + 5	1, 880114 0,58 — 2		
$\gamma_{20} = -21,1433$	$\beta_{20} = 26,6515$	1, 513279 1,98 + 8	1, 609081 1,53 — 6		
		8, 681360 30,72 + 129	8, 681615 30,30 — 126		
		+ 129	+ 126		
		8, 681489	8, 681489		

$$\phi = [\log \sin \gamma] - [\log \sin \beta] = 8,681360 - 8,681915 = - 255$$

nekadar değişeceklere hesaplanmış ve 7 No. lu cetvelin ( $x \cdot \Delta\gamma$ ) sütunu ile ( $x \cdot \Delta\beta$ ) sütununa yazılmıştır.

$\Sigma x \cdot \Delta\gamma = 129$  logaritme,  $\Sigma \log \sin \gamma = 8,681\ 360$  logaritmeye ilâve edilince  $8,681\ 489$  bulunmaktadır.

$\Sigma x \cdot \Delta\beta = -126$  logaritme  $\Sigma \log \sin \beta = 8,681\ 615$  logaritmeye ilâve edilince  $8,681\ 489$  bulunmaktadır.

İki tarafda aynı değerlerin bulunması  $\varphi$  değerinin tamamen yok olduğunu göstermektedir.

7 No. lu cetveldeki ( $\log \sin \gamma$ ) değerleri ( $x \cdot \Delta\gamma$ ) sütunundaki değerler kadar değiştirilmiş, kalan sonuçlar 8 No. lu cetvelin ikinci sütununa  $\gamma$  açılarının hizalarına yazılmıştır.

7 No. lu cetveldeki ( $\log \sin \beta$ ) değerleri ( $x \cdot \Delta\beta$ ) sütunundaki değerler kadar değiştirilmiş, kalan sonuçlar 8 No. lu cetvelin ikinci sütununa  $\beta$  açılarının hizalarına yazılmıştır.

$\alpha$  açılarının dengelenmiş değerleri 6 No. lu cetvelde bulunmaktadır. Bu değerlerin  $\log \sin$ 'leri alınmış ve 8 No. lu cetvelin ikinci sütununa  $\alpha$  açılarının hizalarına yazılmıştır.

1 ve 20 No. lu noktalar arasındaki mesafe arazide ölçülmüş ve 425,45 m. bulunmaktadır. 2 No. lu şekilde 1 - 20 kenarının 1 No. lu üçgende  $\gamma_1$  açısının karşısında bulunduğu görülmektedir. Bu mesafenin logaritmesi 2,628849 dur. 8 No. lu cetvelde üçüncü sütuna  $\gamma_1$  hizasına 2,628849 ve dördüncü sütunda  $\gamma_1$  hizasına 425,45 m. yazılmıştır.

Sinüs teoremi

$$\frac{a}{\sin \alpha} = \frac{b}{\sin \beta} = \frac{c}{\sin \gamma} = 2R \quad (8)$$

formülü ile belirtilir.

Son kesir ve eşiti logaritmik olarak yazılırsa

$$\log c - \log \sin \gamma = \log 2R$$

bulunur.

Problemimizin birinci üçgeninde c kenarı ve dengelenmiş  $\gamma_1$  açısı bilinmektedir, bilinenler bu formülde yerlerine konularak;

$$2,628849 - 1,911921 = 2,716928$$

Cetvel No. : 8

Sinüs Teoremi Yardımıyle Kenar Uzunlıklarının Hesaplanması

açıklar	log 2R $\log \sin \alpha$ $\log \sin \beta$ $\log \sin \gamma$	Kenar uzunlukla- rinin logaritmeleri $a=2R \sin \alpha$ $b=2R \sin \beta$ $c=2R \sin \gamma$	Kenar uzunlukları(m) a b c	Kenarlar
$\alpha_1$	2,716928			
$\beta_1$	1,998242	2,715170	519,00	2-20
$\gamma_1$	1,700532	2,417460	261,49	1- 2
	1,911921	2,628849	425,45	1-20
$\alpha_2$	2,624107			
$\beta_2$	1,963101	2,587208	386,55	1- 3
$\gamma_2$	1,675832	2,299939	199,50	2- 3
	1,793353	2,417460	261,49	1- 2
$\alpha_3$	2,663528			
$\beta_3$	1,935454	2,598982	397,18	2- 4
$\gamma_3$	1,746173	2,409701	256,86	3- 4
	1,636411	2,299939	199,50	2- 3
$\alpha_4$	2,949732			
$\beta_4$	1,687226	2,636958	433,47	3- 5
$\gamma_4$	1,330527	2,280259	190,66	4- 5
	1,459969	2,409701	256,86	3- 4
$\alpha_5$	2,941608			
$\beta_5$	1,727042	2,668650	446,28	4- 6
$\gamma_5$	1,526422	2,468030	293,79	5- 6
	1,338651	2,280259	190,66	4- 5
$\alpha_6$	3,224436			
$\beta_6$	1,636871	2,861307	726,62	5- 7
$\gamma_6$	1,429370	2,653806	450,62	6- 7
	1,243594	2,468030	293,79	5- 6
$\alpha_7$	3,112434			
$\beta_7$	1,807026	2,919460	830,73	6- 8
$\gamma_7$	1,524139	2,636573	433,08	7- 8
	1,541372	2,653806	450,62	6- 7
$\alpha_8$	3,052623			
$\beta_8$	1,864199	2,916822	825,70	7- 9
$\gamma_8$	1,616883	2,669506	467,20	8- 9
	1,583950	2,636573	533,08	7- 8
$\alpha_9$	2,915592			
$\beta_9$	1,961576	2,877168	753,65	8-10
$\gamma_9$	1,720311	2,635903	432,42	9-10
	1,753914	2,669506	467,20	8- 9

Cetvel No.: 8  
(devam)

Sinüs Teoremi Yardımıyle Kenar Uzunlıklarının Hesaplanması

$\alpha_{10}$	2.772793	2,758138	572,98	9—11
$\beta_{10}$	1,985345	2,700950	502,28	10—11
$\gamma_{10}$	1,928157	2,635903	432,42	9—10
	3,073016			
$\alpha_{11}$	1,901029	2,974045	941,99	10—12
$\beta_{11}$	1,666544	2,739560	548,98	11—12
$\gamma_{11}$	1,627934	2,700950	502,28	10—11
	3'063954			
$\alpha_{12}$	1,867491	2,931445	853,97	11—13
$\beta_{12}$	1,516972	2,580926	381,00	12—13
$\gamma_{12}$	1,675606	2,739560	548,98	11—12
	3,130322			
$\alpha_{13}$	1,713904	2,844226	698,60	12—14
$\beta_{13}$	1,506467	2,536789	344,18	13—14
$\gamma_{13}$	1,450604	2,580926	381,00	12—13
	2,796639			
$\alpha_{14}$	1,905944	2,702583	504,18	13—15
$\beta_{14}$	1,540004	2,363643	217,09	14—15
$\gamma_{14}$	1,740150	2,536789	344,18	13—14
	2,767958			
$\alpha_{15}$	1,847056	2,615014	412,11	14—16
$\beta_{15}$	1,590810	2,358668	228,44	15—16
$\gamma_{15}$	1,568685	2,336643	217,09	14—15
	2,656321			
$\alpha_{16}$	1,940182	2,596503	395,91	15—17
$\beta_{16}$	1,703495	2,359816	228,99	16—17
$\gamma_{16}$	1,702447	2,358768	228,44	15—16
	1,604717			
$\alpha_{17}$	1,965061	2,569778	371,35	16—18
$\beta_{17}$	1,731936	2,336653	217,10	17—18
$\gamma_{17}$	1,755099	2,359816	228,44	16—17
	2,541250			
$\alpha_{18}$	1,995880	2,537130	344,46	17—19
$\beta_{18}$	1,837728	2,378978	239,32	18—19
$\gamma_{18}$	1,795403	2,336653	217,10	17—18
	2,652949			
$\alpha_{19}$	1,995211	2,648160	444,80	18—20
$\beta_{19}$	1,880112	2,533061	341,24	19—20
$\gamma_{19}$	1,726099	2,378978	239,32	18—19
	3,019774			
$\alpha_{20}$	1,833908	2,853682	713,97	1—19
$\beta_{20}$	1,609075	2,628849	425,45	1—20

bulunur. Bulunan birinci üçgenin dışına çizilecek dairenin çapının logaritmesidir. 8 No. lu denklemden

$$a = 2 R \sin \alpha$$

veyahut

$$\log a = \log 2 R + \log \sin \alpha$$

yazılabilir.

Bir No. lu üçgende  $\log 2 R$  ve  $\log \sin \alpha$  bilindiğine göre bu formül yardımı ile  $\log a$  hesaplanır.

$$\log a = 2,716928 + 1,998242 = 2,715170$$

Bulunan bu logaritme 8 No. lu cetvelin üçüncü sütununda  $\alpha_1$  hizasına yazılmıştır. 8 No. lu denklemden

$$b = 2 R \sin \beta$$

veyahut

$$\log b = \log 2 R + \log \sin \beta$$

yazılabilir.

Bir No. lu üçgende  $\log 2 R$  ve  $\log \sin \beta$  bilindiğine göre, bu formül yardımı ile  $\log b$  hesaplanır.

$$\log b = 2,716928 + 1,700532 = 2,417460$$

Bulunan bu logaritme 8 No. lu cetvelin üçüncü sütununda  $\beta_1$  hizasına yazılmıştır.

Bir No. lu üçgende  $\beta$  açısının karşısındaki bulunan kenar (1, 2 kenarı) iki No. lu üçgende  $\gamma$  açısının karşısındaki bulunmaktadır. Birinci üçgeni çözüme ikinci üçgenin bir kenarını elde etmiş bulunuyoruz. 8 No. lu cetvelde, üçüncü sütundaki  $\beta_1$  in hizasındaki logaritma aynen  $\gamma_2$  nin hizasına yazılır. Bu logaritmeden  $\log \sin \gamma_2$  çıkarılır, ikinci üçgenin dışına çizilen dairenin çapının logaritmesi elde edilir. Bundan sonra hesaplar birinci üçgenin çözümünde olduğu gibi devam eder.

Çözümü yapılan her üçgende  $\beta$  açısının hizasında bulunan logaritme aynen  $\gamma$  açısının hizasına yazılır. 8 No. lu cetvelin ikinci sütununda bulunan altı çizgili logaritmeler, üçgenlerin dışına çizilen dairelerin çaplarının logaritmeleridir. Cetvelin sonunda bulunan 20 inci üçgene ait değerler incelenirse  $\beta_{20}$  açısının hizasında 2,628849 bulunduğu görülür. Bu değer arazide ölçülen kenarın (1 ve 20 noktaları arasındaki mesafe) logaritmesidir. İlk değer aynen çıkmıştır. Bu durum  $\beta$  ve  $\gamma$  açılarına ait hesapların doğru yapıldığını gösterir. 8 No. lu cetvelin üçüncü sütununda bütün kenarların logaritmeleri bulunmaktadır. Bu logaritmelerin karşıtları olan uzunluklar, logaritme cetvelinden bulunmuş ve cetvelin dördüncü sütununa yazılmış-

tir. Böylelikle poligon kenarlarının uzunlukları elde edilmektedir. Arzu edildiği takdirde bu uzunluklara ve dengelenmiş açıçılara dayanılarak köse noktalarının koordinatlarını hesaplamak mümkündür.

### S O N U Ç

Yukarıda açıklanan metod, kenarları 250 m. den daha uzun olan bir orman poligonunda, kenar uzunlıklarının, arazide ölçülmeden hesap yolu ile nasıl bulunacağını göstermektedir. Hesap sonunda mesafeler sıhhatalı olarak bulunmaktadır. Baz olarak alınan kenar hatalı ölçülecek olursa, bütün kenarlar hatalı olarak bulunur. Bu sebeple bazın çok dikkatli ölçülmesi gereklidir. İkinci bir kenar daha ölçülsürse, kontrol imkânı elde edilmiş olur. Açıların direkt olarak saniyelerini ölçebilen bir teodolit kullanmak ve (çifte rasatla kombine edilmiş 2 silsilelik reyterasyon) metodu uygulanmak suretiyle ölçülmesi, ihtiyacı karşılar.

7 No. lu cetveldeki ( $x \cdot \Delta\gamma$ ) ve ( $x \cdot \Delta\beta$ ) sütunları incelenirse, en büyük değerin (+15) logaritme olduğu görülür. Bu sütunlardaki değerler, kenar şartının gerçekleştirilmesi için  $\gamma$  ve  $\beta$  açılarının logsin'lerinin nekadar değiştirileceğini göstermektedir. 7 No. lu cetveldeki hesaplar, bu değerlerin elde edilmesi için yapılmıştır. logsin'lerin bu miktarlar kadar değiştirilmesinin, kenar uzunlukları üstündeki etkisi yok denecek kadar küçüktür. Bu sebeple 7 No. lu cetveli iptal etmek mümkündür. Buna göre; Bir No. lu cetvelin sonunda bulunan dengelenmiş açıların logsin'leri alınır, 8 No. lu cetvelin ikinci sütununa yazılır ve 8 No. lu cetvele ait hesaplar yapılarak kenar uzunlukları bulunur. Böylelikle hesaplar büyük çapta kısaltılmış olur.

Açıklanan bu metodu, Fotogrametri ile kombine etmek suretile ormanın kadastrol haritasını (sınırları gösteren büyük ölçekli ve tesviye eğrili harita) yapmak mümkündür. Bunun için arazideki noktaları kireçlemek ve daha sonra arazinin fotoğrafını çekmek gereklidir. Arazideki noktaların koordinatları hesaplanır, ormanın iç kısımları havai nirengi (Radyal nirengi) metodu ile doldurulur.

Sonunda ormanlarımızın kadastral haritası elde edilir, orman tahdit problemi de bu konu içersinde kendiliğinden halolur.

### L I T E R A T Ü R

- 1 — Prof. Dr. Kemal Erkin: Ölçmeler Bakımından Türkiye'de Orman Tahdit Problemi
- 2 — Prof. Dr. Kemal Erkin: Orman Fakültesi Geodezi Ders Notları

- 3 — Prof. Mustafa Aytaç : Mühendislikte Fotogrametri
- 4 — W. H. Rayner,  
Milton O. Schmidt : Surveying
- 5 — H. Threlfall : A Text Book on Surveying and Levelling
- 6 — Philip Kissam : Surveying
- 7 — Philip Kissam : Surveying for Civil Engineers
- 8 — Raymond E. Davis : Surveying: Theory and Practice
- 9 — Lyle G. Trorey : Handbook of Aerial Mapping and Photogrammetry
- 10 — Earl Church,  
Alfred O. Quinn : Elements of Photogrammetry
- 11 — Doç. Dr. Tahsin  
Tokmanoğlu : Orman Tahdit Probleminin Çözümünde Aerofotogrametriden İstifade İmkânları üzerine Araştırmalar.